

Lista delle Figure

- Fig. 13- Modello locale delle bocche. Schematizzazione delle configurazioni 1 e 2 proposte per la bocca di Lido.*
- Fig. 14 - Modello locale delle bocche. Schematizzazione delle configurazioni 3 e 4 proposte per la bocca di Lido.*
- Fig. 15 – Modello locale delle bocche. Schematizzazione della configurazione 5 proposta per la bocca di Lido e della configurazione 1 proposta per la bocca di Chioggia.*
- Fig. 16 - Modello locale delle bocche. Schematizzazione delle configurazioni 1 e 2 proposte per la bocca di Malamocco.*
- Fig. 17 - Modello locale delle bocche. Schematizzazione delle configurazioni 3 e 4 proposte per la bocca di Malamocco.*
- Fig. 18 – Modello locale delle bocche. Reticolo di calcolo del modello bidimensionale delle bocche di Lido e Chioggia.*
- Fig. 19 - Modello locale delle bocche. Reticolo di calcolo del modello bidimensionale della bocca di Malamocco.*
- Fig. 20 - Portate fluenti alla bocca di Lido al variare del dislivello tra mare e laguna per le configurazioni esaminate.*
- Fig. 21– Portate fluenti alla bocca di Malamocco al variare del dislivello tra mare e laguna per le configurazioni esaminate.*
- Fig. 22 - Portate fluenti alla bocca di Chioggia al variare del dislivello tra mare e laguna per la configurazione esaminata.*

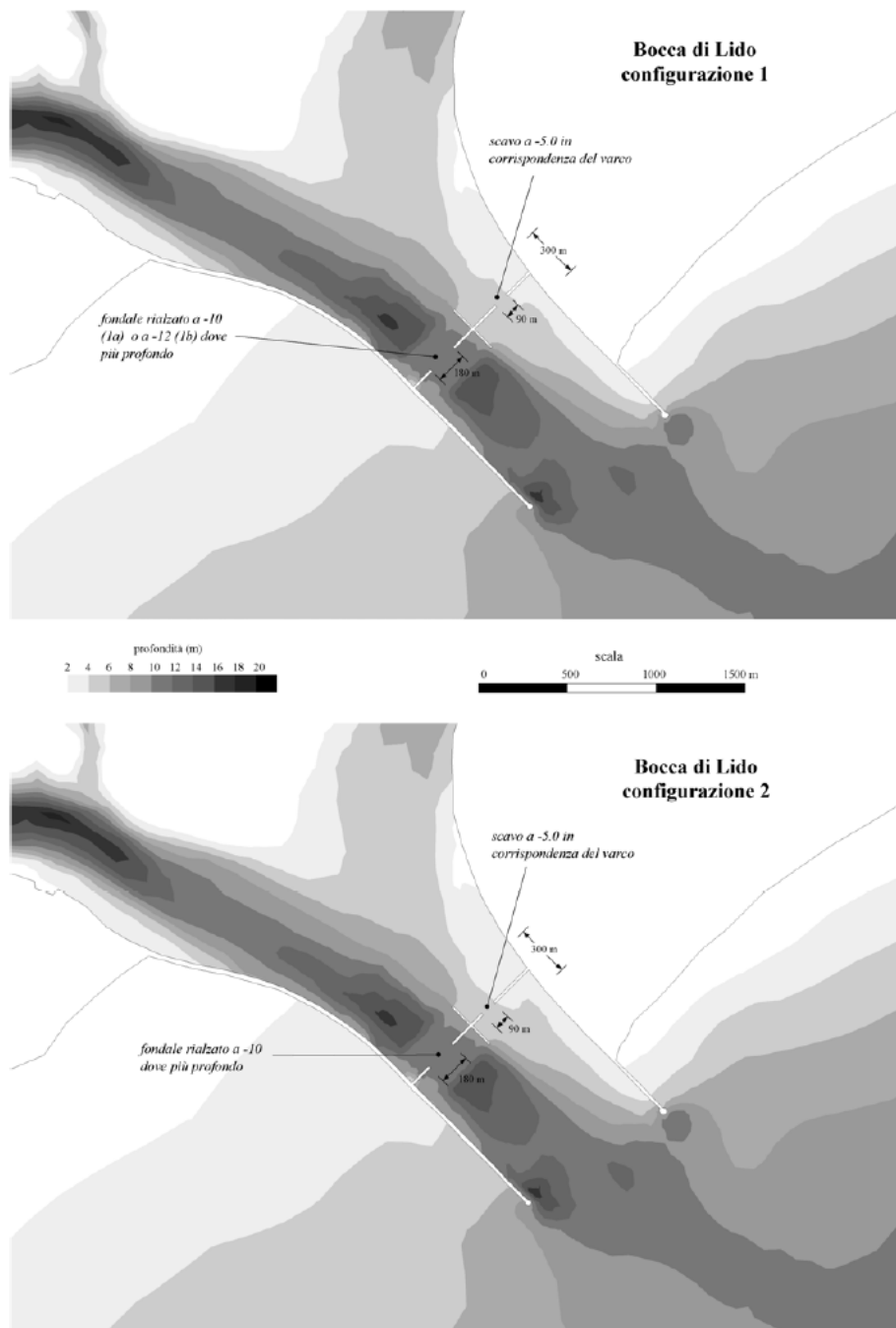


Fig. 13 – Modello locale delle bocche. Schematizzazione delle configurazioni 1 e 2 proposte per la bocca di Lido

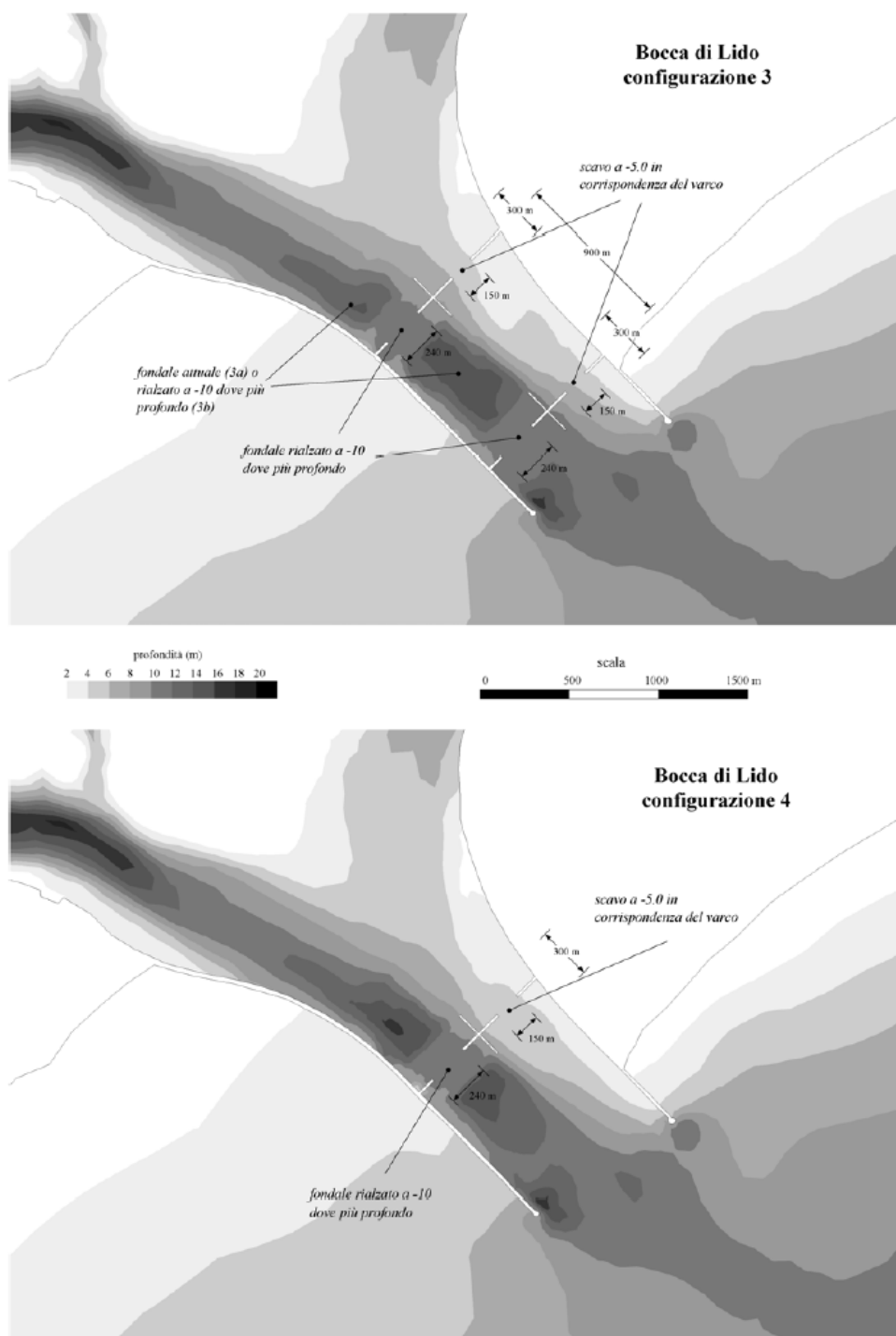


Fig. 14 – Modello locale delle bocche. Schematizzazione delle configurazioni 3 e 4 proposte per la bocca di Lido

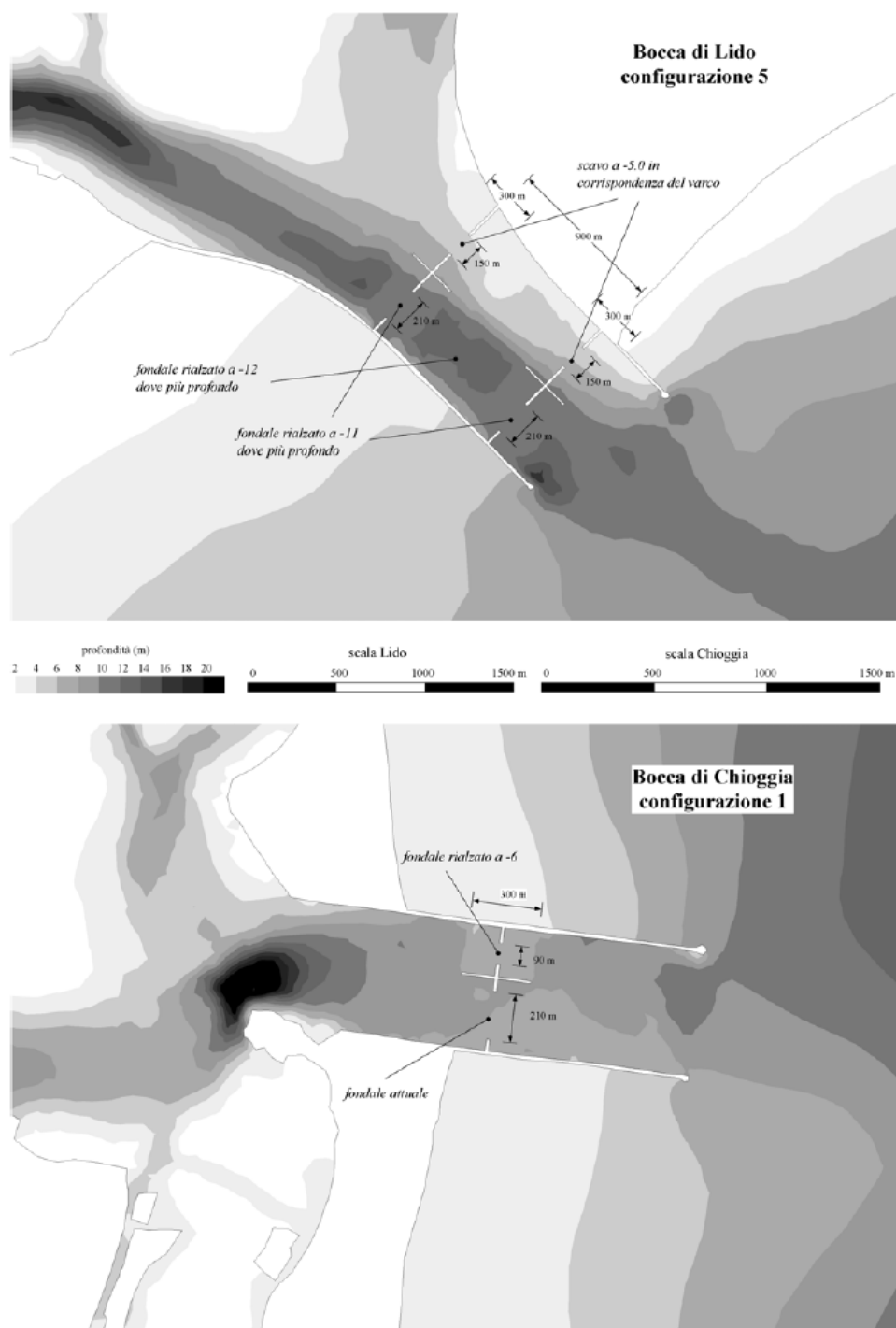


Fig. 15 – Modello locale delle bocche. Schematizzazione della configurazione 5 proposta per la bocca di Lido e della configurazione 1 proposta per la bocca di Chioggia

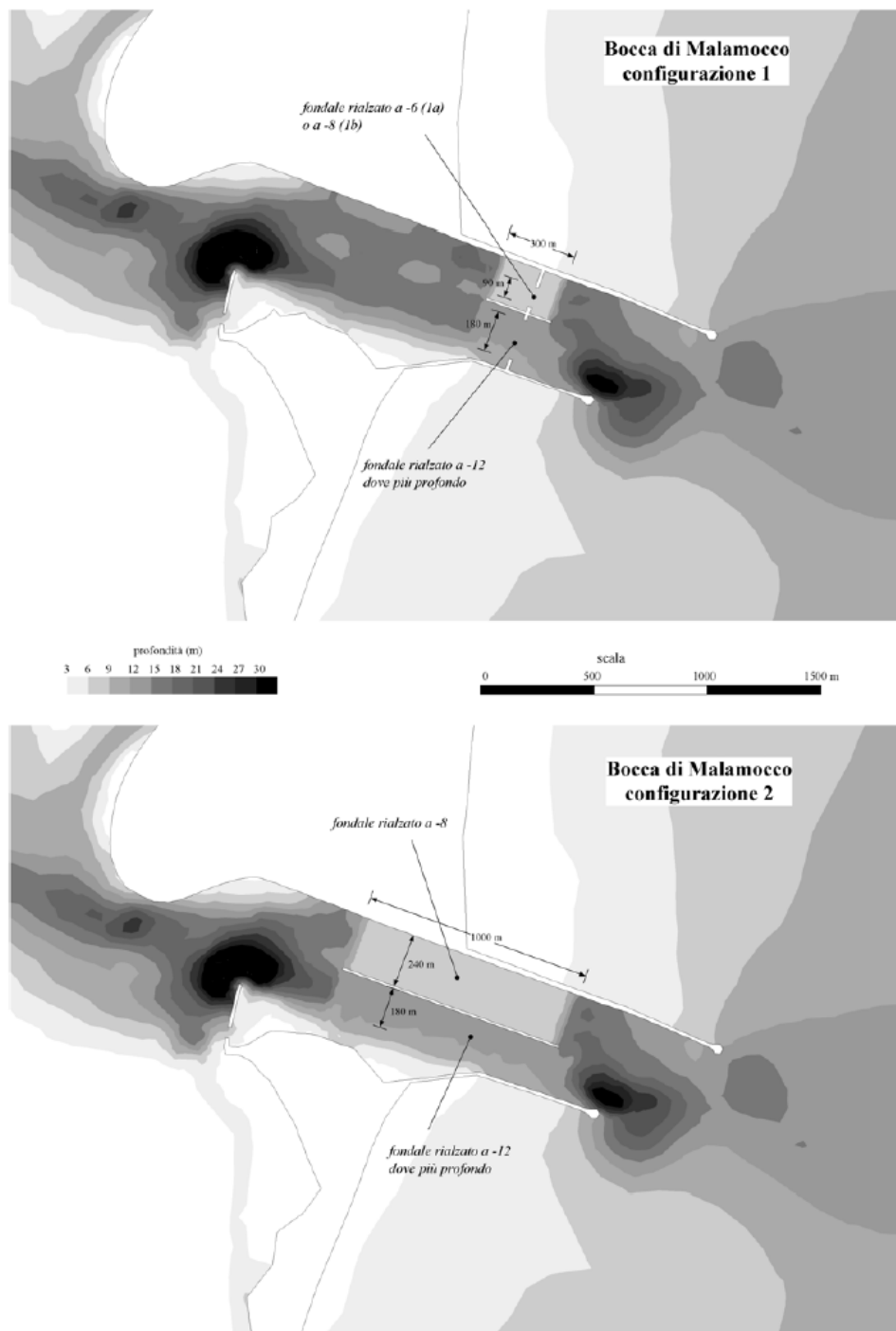


Fig. 16 – Modello locale delle bocche. Schematizzazione delle configurazioni 1 e 2 proposte per la bocca di Malamocco

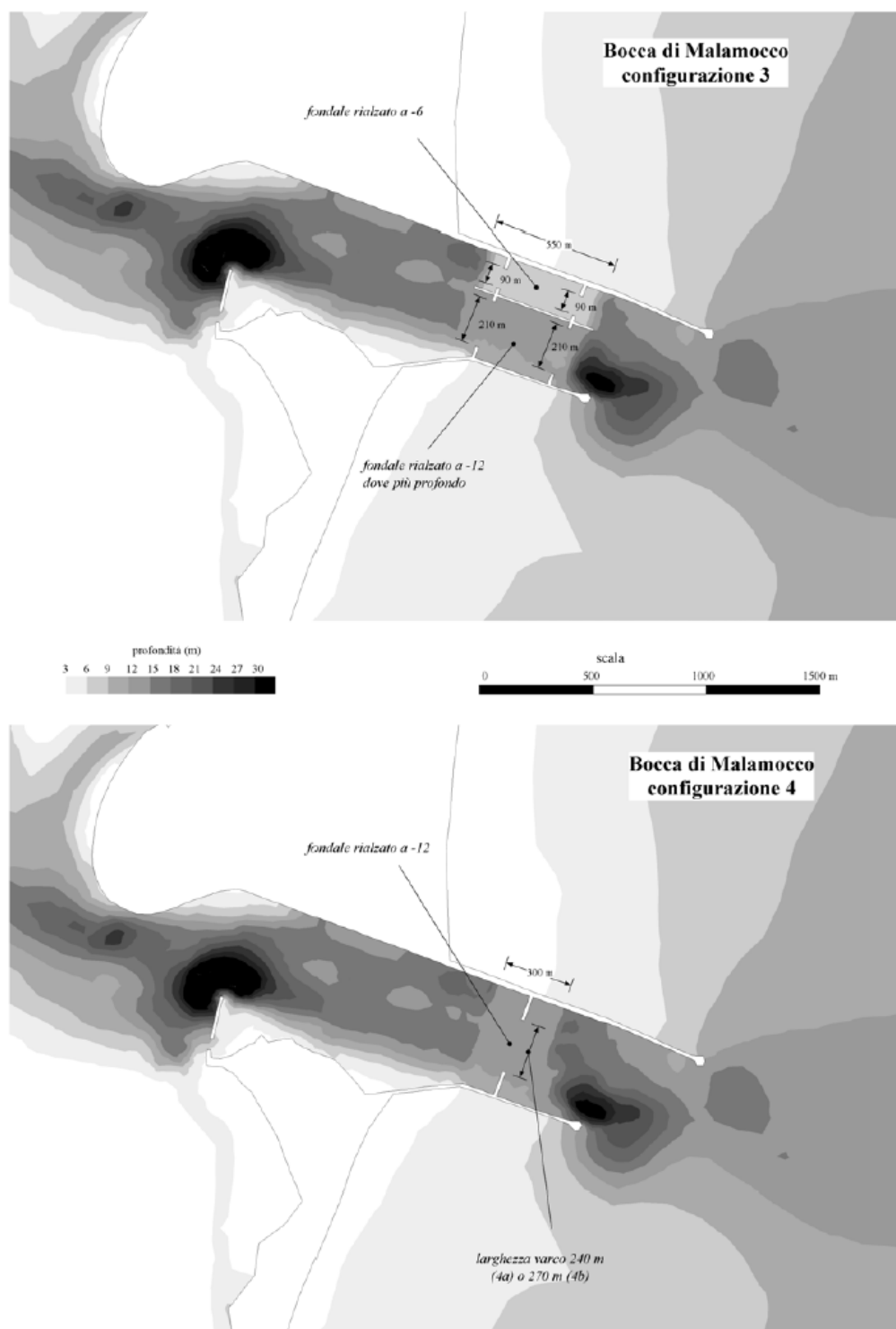
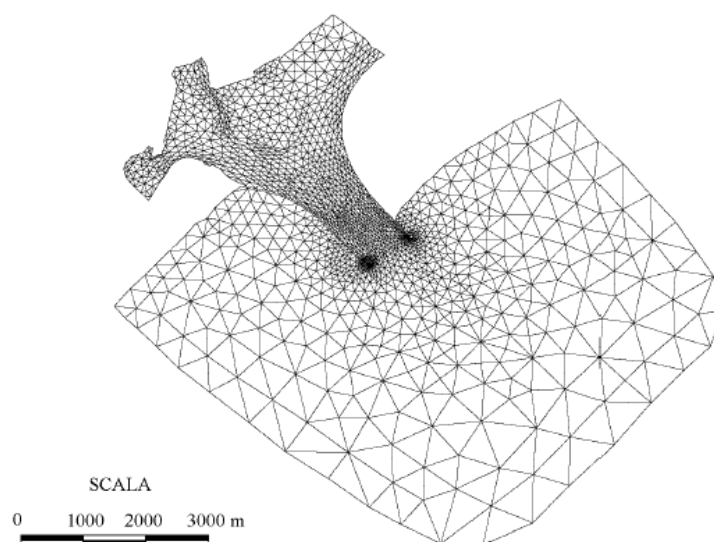


Fig. 17 – Modello locale delle bocche. Schematizzazione delle configurazioni 3 e 4 proposte per la bocca di Malamocco

Modello 2D della Bocca di Lido - Mesh ad elementi finiti
1780 nodi, 3291 elementi



Modello 2D della Bocca di Chioggia - Mesh ad elementi finiti
1971 nodi, 3626 elementi

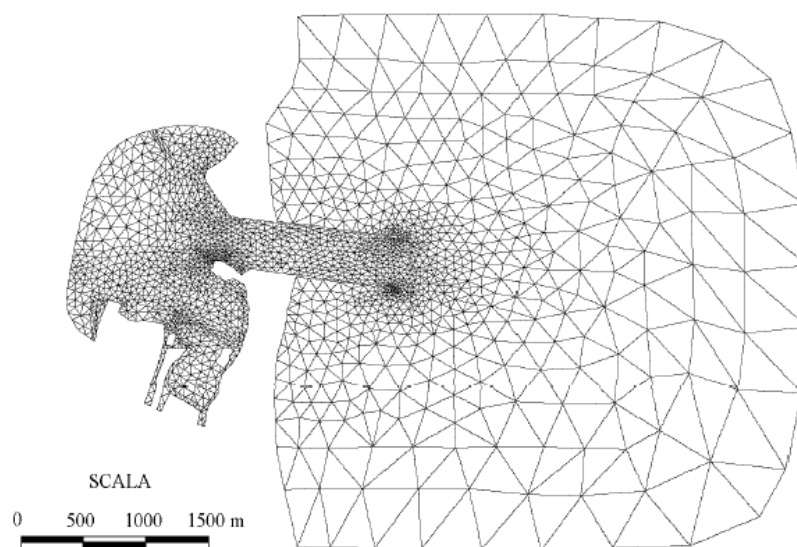


Fig. 18 – Modello locale delle bocche. Reticolo di calcolo del modello bidimensionale delle bocche di Lido e di Chioggia

Modello 2D della Bocca di Malamocco - Mesh ad elementi finiti
2691 nodi, 5082 elementi

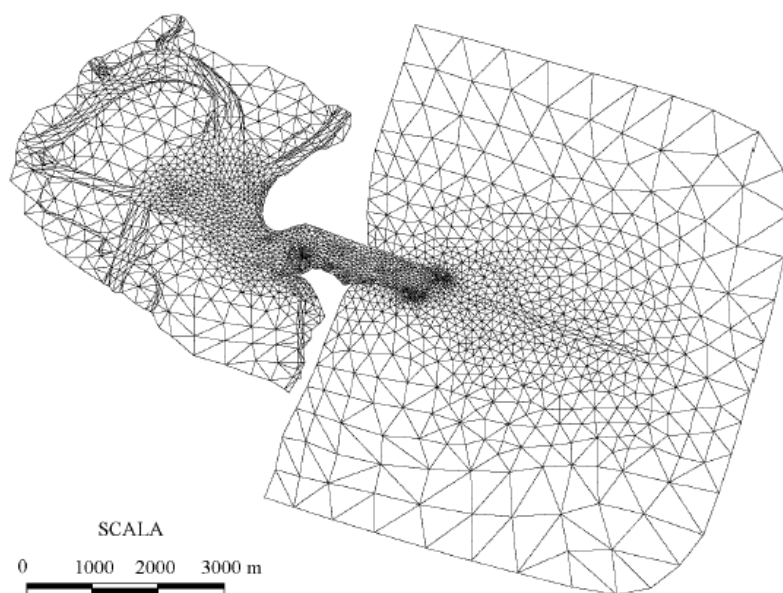


Fig. 19 – Modello locale delle bocche. Reticolo di calcolo del modello bidimensionale della bocca di Malamocco

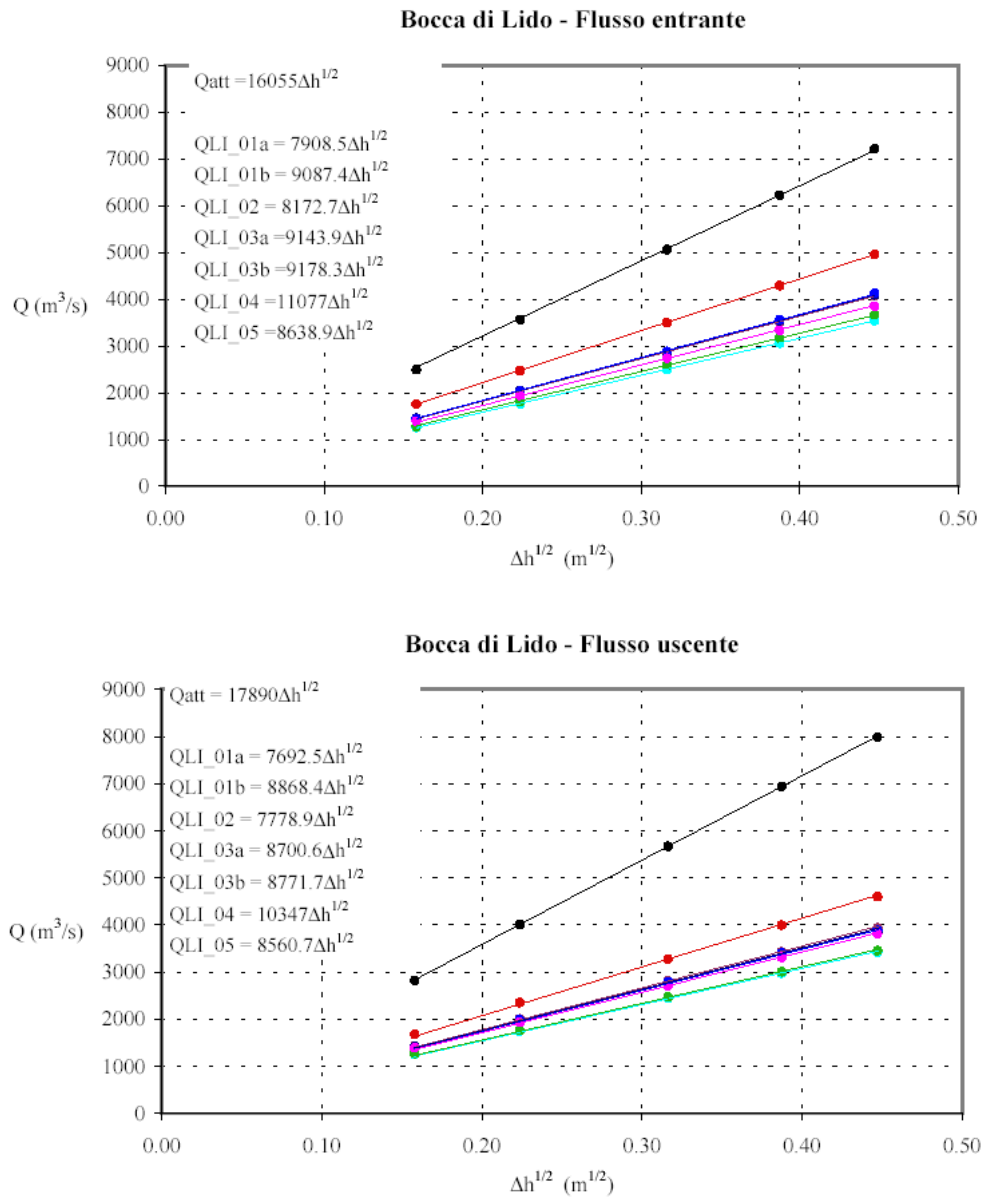


Fig.20 - Portate fluenti alla bocca di Lido al variare del dislivello tra mare e laguna per le configurazioni esaminate.

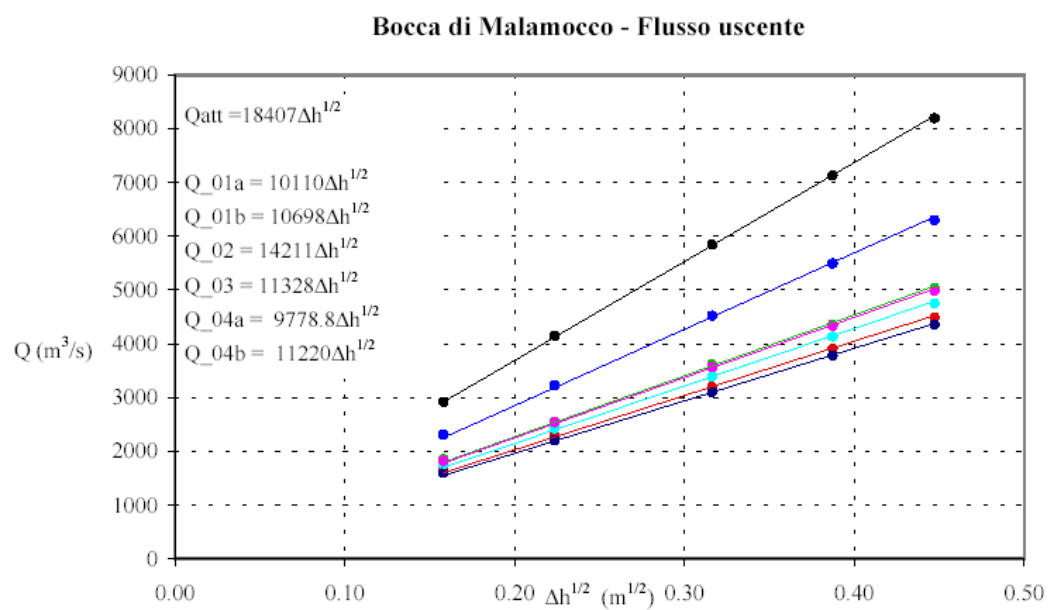
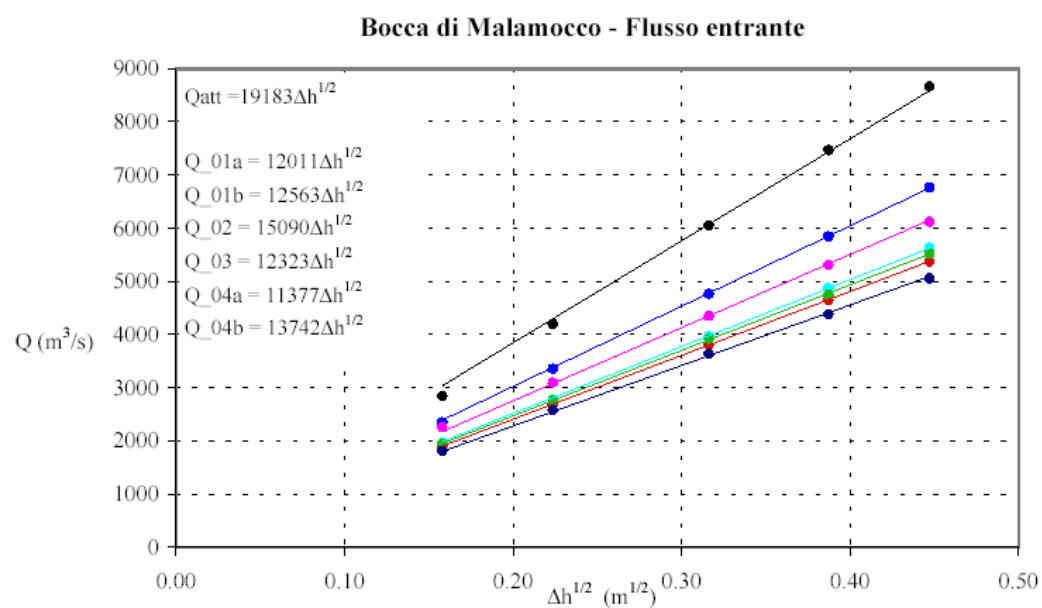


Fig. 21 - Portate fluenti alla bocca di Malamocco al variare del dislivello tra mare e laguna per le configurazioni esaminate.

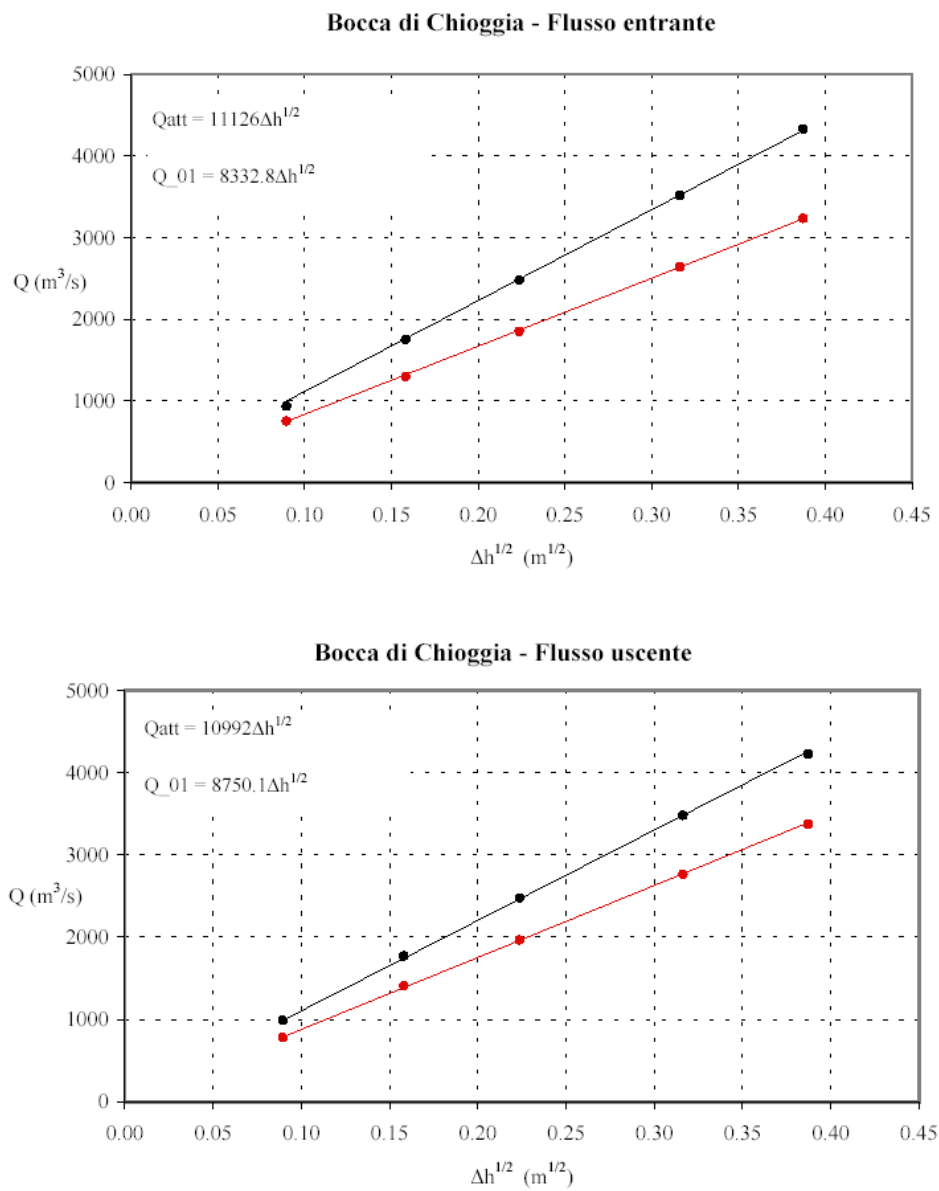


Fig. 22 - Portate fluenti alla bocca di Chioggia al variare del dislivello tra mare e laguna per la configurazione esaminata.